



## بررسی پایداری مگنتوهدرودینامیک در توکامک دماوند با نسبت منظر بزرگ

فاطمه دینی<sup>۱\*</sup>، سینا خراسانی<sup>۲</sup>

۱- پژوهشکده فیزیک پلاسما و گداخت هسته‌ای، پژوهشگاه علوم و فنون هسته‌ای ایران، سازمان انرژی اتمی ایران، صندوق پستی: ۱۴۳۹۹-۵۱۱۱۳، تهران- ایران  
۲- دانشکده مهندسی برق، دانشگاه صنعتی شریف، صندوق پستی: ۱۱۳۶۵-۹۳۶۳، تهران- ایران

**چکیده:** تعادل مگنتوهدرودینامیک آرمانی توکامک ممکن است تحت تأثیر عوامل ناپایدارساز متعددی قرار گیرد. ناپایداری‌ها باعث واپیچش سطوح مغناطیسی و مرزهای آن می‌شود و نیروی محرک آن‌ها، اصولاً از گرادیان شعاعی چگالی جریان چنبره‌ای سرچشمه می‌گیرد. در عده‌های مددی خاص، شاهد مدهای کینک داخلی خواهیم بود و بررسی آن‌ها بر طبق اصل انرژی، که در آن تغییر انرژی پتانسیل در اثر آشفتگی پلاسما محاسبه می‌شود، امکان پذیر خواهد بود. در این پژوهش، برای مطالعه‌ی پایداری پلاسمای توکامک دماوند، که دارای نسبت منظر بزرگ است، تحلیل جدیدی از تعادل مگنتوهدرودینامیک و پایداری ارایه می‌دهیم. بدین منظور، ضمن ادغام روش‌های پریشیدگی و توابع گرین اقدام به یافتن آرایش تعادلی می‌کنیم. در این مرحله، پروفیل‌های پلاسما بر حسب توابع بسل به طور صریح محاسبه می‌شوند و رابطه‌ی ساده‌ای برای جریان کل چنبره‌ای پلاسما به دست می‌آید. سپس سایر پروفیل‌های پلاسما از جمله شار مغناطیسی قطبی، ضربی اینمنی و چگالی جریان چنبره‌ای محاسبه و ترسیم می‌شود. در مرحله‌ی بعد به محاسبات پایداری می‌پردازیم و مدهای پایدار و ناپایدار در پلاسمای دماوند را مشخص می‌کنیم.

**واژه‌های کلیدی:** توکامک دماوند، مگنتوهدرودینامیک، پایداری پلاسما، پروفیل‌های شعاعی پلاسما، محصورسازی پلاسما، ناپایداری، تابع گرین، تغیره‌ی اختلال، شار مغناطیسی، نسبت منظر

## Study of Magnetohydrodynamic Stability in Damavand Tokamak with Large Aspect Ratio

F. Dini<sup>1</sup>, S. Khorasani<sup>2</sup>

1- Plasma Physics and Nuclear Fusion Research School, Nuclear Science and Technology Research Institute, AEOI, P.O. Box: 14399-51113, Tehran-Iran  
2- School of Electrical Engineering, Sharif University of Technology, P.O. Box: 11365-9363, Tehran-Iran

**Abstract:** Ideal magnetohydrodynamic (MHD) equilibrium is vulnerable to numerous unstabilizing mechanisms. Instabilities introduce distortions to the plasma magnetic surfaces and their boundaries, their driving force being the radial gradient of plasma toroidal current density. For certain modal numbers, internal kink modes may develop, and their study is feasible according to the energy principle, in which the change in total potential energy is evaluated due to the disturbance. In this paper, we present a new analysis of MHD equilibrium and stability, and apply it to Damavand Tokamak which has a large aspect ratio. For this purpose, we combine the perturbation and Green's function methods to solve the equilibrium configuration problem. At this stage, plasma profiles are found explicitly in terms of Bessel functions, and we present a simple expression for estimation of total toroidal plasma current. Then the rest of plasma profiles, including poloidal magnetic flux, safety factor, and toroidal current density, are obtained and plotted. In the next step, we turn to the stability calculations and characterize the stable and unstable ideal MHD modes of Damavand plasma.

**Keywords:** Damavand Tokamak, Magnetohydrodynamic, Plasma Stability, Plasma Radial Profiles, Plasma Confinement, Instability, Green Function, Perturbation Theory, Magnetic Flux, Aspect Ratio

\*email: fdini@aeoi.org.ir

تاریخ دریافت مقاله: ۸۷/۴/۲۹ تاریخ پذیرش مقاله: ۸۷/۱۰/۲۶



## ۱- مقدمه

مجازی در حالت تعادل، انرژی پتانسیل کاهش یابد، حالت تعادل موجود ناپایدار شده و پلاسمما به سرعت گسترش می‌یابد. ناپایداری‌هایی که به این ترتیب مورد بررسی قرار می‌گیرند، مدهای آرمانی نام دارند. تغییر انرژی پتانسیل توسط یک جابه‌جایی دلخواه را می‌توان با استفاده از معادلات مگنتوهدرودینامیک به دست آورد، مشروط بر این که پروفیل‌های شعاعی پلاسمما در دسترس باشد.

در اینجا، به کمک روش اصل انرژی، برای انرژی پتانسیل در دستگاه مختصات شار و در تقریب نسبت منظر بزرگ یا توکامک مستقیم، به یک شکل انتگرالی دست می‌یابیم [۱۲ و ۱۳]. تحت این شرایط، ناپایداری‌های ایجاد شده با فشار نفشن خاصی نداشته و تنها ناپایداری‌های راهاندازی شده با جریان، مهم هستند. برای ارزیابی پروفیل‌های تعادلی پلاسمما در پلاسمای توکامک دماوند با نسبت منظر بزرگ، تحلیل جدیدی از تعادل مگنتوهدرودینامیک ارایه داده، و نشان می‌دهیم که پروفیل‌های پلاسمما بر حسب توابع بسل نوع اول به طور صریح قابل بیان هستند. هم‌چنین رابطه‌ای ساده‌ای برای جریان کل چنبره‌ای پلاسمما به دست می‌آوریم. سپس سایر پروفیل‌های پلاسمما از جمله شار مغناطیسی قطبی، ضربی ایمنی، و شدت جریان چنبره‌ای را محاسبه می‌کنیم.

در نهایت، محاسبات پایداری را ارایه داده و نشان می‌دهیم که پلاسمای دماوند نسبت به پریشیدگی دست کم نیمی از مدهای مگنتوهدرودینامیک آرمانی مقاوم است. در این میان، تمام مدهای  $n \geq m$  در پلاسمای توکامک دماوند پایدار هستند، در حالی که تنها برای برخی از مدهای  $m > n$  پایداری وجود دارد. خواهیم دید که در مقابل عامل ناپایدارساز اصلی، که همان گرادیان شعاعی جریان چنبره‌ای پلاسمما است، پایدارسازی پلاسمای توکامک در این قسمت توسط ضربی ایمنی تأمین می‌شود که به دلیل حضور جریان چنبره‌ای پلاسمای توکامک است. جریان چنبره‌ای موجب القای میدان مغناطیسی قطبی شده و پروفیل مناسب برای ضربی ایمنی را تأمین می‌نماید. از میان مدهای مورد مطالعه می‌توان به مد خاص  $(m,n) = (2,1)$  اشاره نمود که عامل اصلی گسیختگی‌ها در توکامک به شمار می‌رود، و پلاسمای دماوند نسبت به آن ناپایدار است و نیاز به کنترل فعال با پس خور دارد. در مورد سایر مدهای آرمانی پایدار، مادامی که جریان چنبره‌ای در اثر القای هسته‌ی مرکزی به صفر نرسیده و ولتاژ حلقه تغییر علامت نداده است، پلاسمای دماوند عمدتاً مقاوم و پایدار خواهد بود.

گرادیان‌های جریان و فشار، نیروهای اصلی ناپایدارساز در توکامک به شمار می‌روند و ناپایداری‌های ممکن در دو گروه مدهای آرمانی و مدهای غیرآرمانی یا مقاومتی قرار می‌گیرند. هر عضو از این مجموعه توسط اعداد مدد ( $m$  و  $n$ ) مربوط به خودش مشخص می‌شود. به طور کلی عواملی چون خمیدگی خطوط میدان مغناطیسی، تراکم آن‌ها و انحنای خوب میدان مغناطیسی می‌توانند اثرات پایدارساز داشته باشند. در نتیجه، حالت تشذید و پایدارسازی خطوط میدان مغناطیسی، پارامتری تحت عنوان ضربی ایمنی یا  $q$  را مطرح می‌سازد. همان‌طور که خواهیم دید در سطحی که تشذید رخ می‌دهد داریم  $q=m/n$ . بیشترین مقدار  $q$  در موز پلاسمما، معموماً بین ۳ و ۴، و کمترین مقدار آن در مرکز پلاسمما به دلیل نوسانات دندانه ارهای برابر واحد می‌باشد. در حال حاضر ضربی ایمنی در موز پلاسمای توکامک‌های ایتر (اولین رآکتور گداخت بین‌المللی در حال ساخت) و جت (بزرگ‌ترین توکامک موجود) در حدود ۳ است [۱ و ۲]. انتخاب پروفیل شعاعی  $q$  از مسایل مهم و مطرح در تحقیقات تجربی توکامک به شمار می‌رود.

ناپایداری‌های مشهود در توکامک آن‌هایی هستند که در ساده‌ترین شکل خود توسط مدل مگنتوهدرودینامیک پلاسمما توصیف می‌شوند. با استفاده از معادلات مگنتوهدرودینامیک می‌توان پایداری یا ناپایداری یک تعادل مشخص در برابر پریشیدگی‌های به دلخواه کوچک را مورد بررسی قرار داد. روش اصل انرژی، محاسبه‌ی توابع و ویژه مقدارها، و حل معادله‌ی موزی معمولاً سه روش نظری برای تعیین پایداری در توکامک‌ها هستند [۳ تا ۱۰]. تاکنون در این زمینه، تجزیه و تحلیل‌های ریاضی بسیاری با بهره‌گیری از شکل وردشی معادلات صورت گرفته است. این شیوه از بررسی ناپایداری‌ها به اصل انرژی موسوم است. این شیوه‌ی وردشی در تعیین پایداری مدها خیلی دقیق بوده [۱۱]، و تجزیه و تحلیل توسط آن نیز ساده می‌باشد، ولی در مورد آهنگ رشد مدها تنها قادر به تخمین مرتبه‌ی آن‌ها است [۱۲ و ۱۳].

تعادل مگنتوهدرودینامیک عبارت از توازن کامل نیروها در هر نقطه از فضا می‌باشد. ناپایداری، در حقیقت گرایش به دور شدن از حالت تعادل به واسطه‌ی یک پریشیدگی کوچک دلخواه سرعت است. اصل انرژی مگنتوهدرودینامیک آرمانی بر این مفهوم استوار است که اگر در اثر وقوع پریشیدگی فیزیکی

برای بررسی پایداری در دستگاه‌های چنبره‌ای محصورسازی چون توکامک و به ویژه توکامک دماوند از دستگاه مختصات مناسب برای ساده‌سازی عبارت انرژی پتانسیل استفاده می‌کنیم. در این مورد، دستگاه مختصات شار با مختصه‌های  $(\zeta, \theta)$  انتخاب بسیار مناسبی است، که در آن  $a$  مختصه‌ی شار (مثلاً شعاع یا حجم سطوح شار مغناطیسی) و مختصه‌های  $\theta$  و  $\zeta$  مانند دستگاه مختصات چنبره‌ای بیان گر زاویه‌ی قطبی و چنبره‌ای هستند. در این حالت می‌توان نوشت [11]

$$\delta W = \frac{1}{2} \int (Q + \xi^1 \frac{j \nabla a}{|\nabla a|^2})^2 + \gamma P_0 (\nabla \cdot \xi)^2 - K(\xi^1)^2 dV \quad (3)$$

که در آن با در نظر گرفتن علامت جملات، به شرط کافی  $K < 0$  برای پایداری می‌رسیم.  $Q$  میدان مغناطیسی پریشیده است،  $Q = \nabla \times [\xi \times B_0]$ ، و ما پریشیدگی میدان را کوچک در نظر می‌گیریم، یعنی  $|B_0| \ll |B_1|$ . بردار جابه‌جایی عنصری از پلاسمای از پلاسمای از دستگاه مختصات شار را به شکل  $\xi^1 e_1 + \xi^2 e_2 + \xi^3 e_3$  نمایش می‌دهیم. در رابطه‌ی (3)،  $e_1$  مؤلفه‌ی بردار در راستای مختصه‌ی شار دستگاه مختصات شار  $(\zeta, \theta)$  می‌باشد. اما بردار  $K$  به شکل زیر تعریف می‌شود

$$K = \frac{j^2}{|\nabla a|^2} + P'' - \frac{[B \nabla a]}{|\nabla a|^2} \nabla \times \frac{[j \nabla a]}{|\nabla a|^2}$$

حال با توجه به روابط موجود در دستگاه مختصات منحنی الخط، پس از محاسبه‌ی ضرایب متری، با عملیات جبر برداری میان مؤلفه‌های ناوردا، تک‌تک جملات رابطه‌ی (3) را محاسبه و جای‌گذاری می‌کنیم. به این ترتیب، به عبارت زیر می‌رسیم [11]

$$\delta W = \frac{1}{2} \int \{ g_{11}(Q^1)^2 + 2g_{12}Q^1Q^2 + g_{22}(Q^2)^2 + 2g_{13}Q^1Q^3 + 2g_{23}Q^2Q^3 + 2g_{33}(Q^3)^2 + 2Q^2F_2\xi^1 + 2Q^3F_3\xi^1 + \gamma P(\nabla \cdot \xi)^2 + F_0(\xi^1) - K(\xi^1)^2 \} dV \quad (4)$$

که در آن،  $g_{ij}$  ضرایب متری،  $Q^i$  مؤلفه‌های ناوردا میدان پریشیده هستند. هم‌چنین توابع  $F_i$  عبارت‌اند از

در تقریب مگتوهیدرودینامیک غیرآرمانی، رسانایی الکتریکی محدود پلاسما موجب پارگی و به هم پیوستن خطوط مغناطیسی و در نتیجه تشکیل جزاير مغناطیسی می‌گردد. بدیهی است که هنوز امکان گسترش مدهای مگتوهیدرودینامیک غیرآرمانی یا مقاومتی در پلاسمای دماوند وجود دارد، ولی آهنگ رشد مدهای مقاومتی بسیار کندتر از مدهای آرمانی است. در هر صورت، امکان رشد یک مده غیرآرمانی  $(m,n)$  حتی وقتی که مده آرمانی  $(m,n)$  مربوطه پایدار شده است، وجود دارد.

در ادامه به تشریح اصل انرژی و چگونگی کاربرد آن پرداخته شده است. سپس نتایج محاسبات تعادل و پایداری ارایه شده‌اند. در پایان، جمع‌بندی و نتیجه‌گیری آورده شده است. هم‌چنین محاسبات مربوط به تعادل در پیوست الف و چگونگی استخراج پروفیل ضریب ایمنی در پیوست ب آورده شده‌اند.

## ۲- اصل انرژی

تغییر انرژی در اثر جابه‌جایی پلاسما،  $(x, \zeta)$ ، از انتگرال حجمی زیر به دست می‌آید [3 تا 10]

$$\delta W = -\frac{1}{2} \int \xi \cdot F dV \quad (1)$$

$F(x)$  نیروی ناشی از جابه‌جایی است. با توجه به شکل خطی پریشیدگی، از معادلات مگتوهیدرودینامیک، برای فشار  $P$ ، چگالی جریان الکتریکی  $j$  و میدان مغناطیسی  $B$  داریم  $(B = j \times B_0 + j_0 \times B_0 - \nabla P)$ ،  $B_0 = \nabla \times (\xi \times B_0)$ ، و نیز  $\mu_0 = \nabla \times B_0 / \mu$ . هم‌چنین فشار پریشیده عبارت است از  $P = -\gamma P_0 \nabla \cdot \xi$ . زیرنویس‌های صفر و یک به ترتیب نشانه‌های مربوط به تعادل و پریشیدگی اند. پس می‌توان تغییر انرژی پتانسیل،  $\delta W$ ، را به صورت زیر نوشت

$$\delta W = \frac{1}{2} \int [\gamma P_0 (\nabla \cdot \xi)^2 + (\xi \cdot \nabla P_0) \nabla \cdot \xi + \frac{1}{\mu_0} B_0^2 - j_0 \cdot (B_0 \times \xi)] dV + \frac{1}{2} \int (P_1 + \frac{1}{\mu_0} B_0 \cdot B_1) \xi \cdot dS \quad (2)$$

به طور کلی، با توجه به شکل دستگاه و نوع بررسی، عبارت‌های مختلفی برای انرژی پتانسیل وجود دارد. در اینجا



اگر مؤلفه‌های موازی و عمود بر میدان مغناطیسی بردار جابه‌جایی یعنی،  $\vec{\lambda} = u\hat{\lambda} + u'\hat{\xi}$  را در نظر بگیریم، رابطه‌ی بین  $u$  و  $u'$  چنین است  $\phi' = u'_\theta = \frac{\partial u}{\partial \theta}$ . برای  $\lambda$  نیز داریم  $\lambda' = \chi' - \psi'$ . از آن جا که میدان چنبره‌ای در مقایسه با میدان قطبی بسیار بزرگ است، پریشیدگی این میدان ناچیز و در حدود صفر می‌باشد. پس  $u'_a = \tilde{\lambda} - \lambda$  را تعریف و برای پریشیدگی تابع شار چنین به دست می‌آوریم  $\Psi = \mu u'_\theta + u = \mu u' + u$ . از بازنویسی تمامی جملات رابطه‌ی (۶) با توجه به تعاریف و کمیت‌های جدید، برای مؤلفه‌های  $Q^i$ ، و توابع  $F_1$ ،  $F_2$  و  $F_3$  به ترتیب داریم  $Q^i = (2\pi\sqrt{g})^{-1} \partial \Psi / \partial \theta$  [۱۱]،  $F_1 = -(2\pi\sqrt{g})^{-1} \partial \tilde{\lambda} / \partial \theta$  و  $F_2 = (2\pi\sqrt{g})^{-1} (\partial \tilde{\lambda} / \partial \zeta - \partial \Psi / \partial a)$ ،  $F_3 = (2\pi\sqrt{g})^{-1} F'$  و  $F' = (2\pi)^{-1} (\tilde{\lambda}' + \chi'' - \tilde{\lambda}\phi'' - \tilde{\lambda}\chi')$  که در آن‌ها  $\tilde{\lambda}'$  و  $F'$ ، به ترتیب، مشتق جریان چنبره‌ای و قطبی نسبت به  $a$  می‌باشند.

در این جا، ناپایداری‌هایی را در نظر می‌گیریم که در نبود گرادیان فشار پدید می‌آیند. لذا در روابط بالا  $P'$  را صفر در نظر می‌گیریم. اگر این مقادیر را در معادله‌ی (۶) قرار دهیم، رابطه‌ی انرژی پتانسیل بر حسب دو متغیر پریشیده یعنی تابع شار  $\psi$  و پریشیدگی میدان طولی  $\tilde{\lambda}$  در دستگاه مختصات شار این است

$$\delta W = \left( \frac{1}{2\pi} \right)^2 \int \frac{1}{R} \left\{ \frac{1}{a} \left( \frac{\partial \Psi}{\partial \theta} \right)^2 + a \left( \frac{\partial \tilde{\lambda}}{\partial \zeta} - \frac{\partial \Psi}{\partial a} \right)^2 + \frac{R^2}{a} \left( \frac{\partial \tilde{\lambda}}{\partial \theta} \right)^2 + R \xi^2 [F'(a)\phi''(a) + \tilde{\lambda}'(a)x''(a)] - 2RF'(a)\xi \left( \frac{\partial \tilde{\lambda}}{\partial \theta} \right) + 2R\xi\tilde{\lambda}'(a) \left( \frac{\partial \tilde{\lambda}}{\partial \zeta} - \frac{\partial \Psi}{\partial a} \right) \right\} da d\theta d\zeta \quad (7)$$

برای تعیین علامت  $\delta W$  نسبت به این پریشیدگی‌ها، با توجه به معادله‌ی اویلر، اصل وردشی تابع زیر انتگرال را نسبت به این متغیرها کمینه می‌کنیم. معادله‌ی اویلر برای  $W$  عبارت است از

$$\frac{\partial}{\partial \zeta} \frac{\partial W}{\partial \lambda'_\zeta} + \frac{\partial}{\partial \theta} \frac{\partial W}{\partial \lambda'_\theta} = \frac{\partial W}{\partial \lambda} \quad (8)$$

$$F_1 = \frac{P'}{\sqrt{g}} \frac{\partial \sqrt{g}}{\partial a} - \left[ j^2 \frac{\partial}{\partial a} \left( \sqrt{g} B^3 \right) - j^3 \frac{\partial}{\partial a} \left( \sqrt{g} B^2 \right) \right]$$

$$F_2 = \sqrt{g} j^3$$

$$F_3 = -\sqrt{g} j^2$$

رابطه‌ی (۴) یک رابطه‌ی کلی برای هر سیستم چنبره‌ای از جمله استلاتراتور می‌باشد. در توکامک با توجه به تقارن محوری، ضرایب متغیر کاوش می‌یابند، یعنی  $g_{12} = g_{21}$ ،  $g_{13} = g_{31} = g_{23} = g_{32} = 0$ . بنابراین، رابطه‌ی (۴) برای توکامک به صورت زیر در می‌آید

$$\delta W = \frac{1}{2} \int \{ g_{11}(Q^1)^2 + 2g_{12}Q^1Q^2 + g_{22}(Q^2)^2 + 2g_{33}(Q^3)^2 + 2Q^2 F_2 \xi^1 + 2Q^3 F_3 \xi^1 + F_1(\xi^1)^2 \} dV \quad (5)$$

حال مسئله را برای پلاسمای تراکم‌ناپذیر در نظر می‌گیریم، یعنی  $\nabla \cdot \vec{\lambda} = 0$ . با فرض توکامکی با نسب منظر بزرگ، یعنی  $R/a \ll 1$ ، برای ضرایب متغیر و دیگر کمیت‌ها خواهیم داشت  $\sqrt{g} = Ra$ ،  $\xi = g_{11} = 1$ ،  $\psi = R$ . برای عنصر حجم نیز داریم  $dV = \sqrt{g} da d\theta d\zeta$ . از این‌رو، می‌توان نوشت

$$\delta W = \frac{1}{2} \int Ra da d\theta d\zeta \left\{ (Q^1)^2 + a^2 (Q^2)^2 + 2R^2 (Q^3)^2 + 2\xi Q^2 F_2 + 2\xi Q^3 F_3 + F_1 \xi^2 \right\} \quad (6)$$

اینک می‌خواهیم رابطه‌ی بالا را با توجه به تابع شار مغناطیسی قطبی  $\chi$  و شار مغناطیسی چنبره‌ای  $\phi$  بنویسیم. با توجه به این واقعیت که این توابع تنها تابعی از مختصه‌ی شار می‌باشند، می‌توان نوشت  $\phi' = \phi'(a)$  و  $\psi' = \psi'(a)$  و  $\chi' = \chi'(a)$ . بنابراین داریم  $\chi(a) = \chi(a) - \psi(a) = \psi - \psi$ . یک ثابت و بیان‌گر شار مغناطیسی بر روی محور پلاسما  $a = 0$  است. از سوی دیگر با توجه به تعریف ضرب ایمنی، برای پارامتر انتقال چرخشی خواهیم داشت  $\chi'/\phi' = -\psi'/\phi' = -\mu$ ،  $\mu = \mu(2, 3, 4)$ . برای محاسبه‌ی این تابع احتیاج به شناخت آرایش تعادلی پلاسما داریم و این مطلب در پیوست‌های الف و ب بیان شده است.

برای این منظور جابه‌جایی معمولاً به صورت یک سری فوریه در نظر گرفته می‌شود، یعنی

$$\begin{aligned}\xi &= \sum_m \sum_n \xi_{m,n}(a) \cos(m\theta - n\zeta) \\ \psi(a, \theta) &= \sum_m \sum_n \psi_{m,n}(a) \cos(m\theta - n\zeta) \\ \delta W &= \sum_m \sum_n \delta W_{m,n}\end{aligned}\quad (11)$$

که در دو راستای قطبی و چنبره‌ای با دامنه‌ی  $\alpha$  می‌باشد. با توجه به رابطه‌ی شار پریشیده و جابه‌جایی می‌توان نوشت

$$\xi = \frac{\psi}{\phi'} \left( \mu - \frac{n}{m} \right)^{-1} \quad (12)$$

با توجه به روابط (11) و (12)، رابطه‌ی (10) را می‌توان برای حالتی که تنها پریشیدگی مد (m,n) وجود دارد نوشت

$$\begin{aligned}\delta W_{m,n} &= \int \frac{1}{R} \left\{ \frac{1}{a} \psi' m' \sin'(m\theta - n\zeta) \right. \\ &\quad + R \phi' \Im' \mu' \frac{\psi^2}{(\phi')^2} \frac{1}{(\mu - n/m)} \cos^2(m\theta - n\zeta) \\ &\quad - 2R \Im' \left( \frac{\psi}{\phi'} \right) \frac{\psi'}{(\mu - n/m)} \cos^2(m\theta - n\zeta) \\ &\quad \left. + a(\psi')^2 \cos^2(m\theta - n\zeta) \right\} da d\theta d\zeta\end{aligned}\quad (13)$$

با انتگرال‌گیری از رابطه‌ی بالا روی زوایای  $\theta$  و  $\zeta$  داریم

$$\begin{aligned}\int_0^{2\pi} \int_0^{2\pi} \sin^2(m\theta - n\zeta) d\theta d\zeta &= \frac{1}{2} \\ \int_0^{2\pi} \int_0^{2\pi} \cos^2(m\theta - n\zeta) d\theta d\zeta &= \frac{1}{2}\end{aligned}$$

پس از انتگرال‌گیری و پاره‌ای محاسبات، رابطه‌ی (13) به این صورت درمی‌آید

$$\delta W_{m,n} = \int \frac{da}{4\pi R} \left\{ \frac{m^2 \psi^2}{a} + a(\psi')^2 - \frac{R \Im' \left( \frac{\psi^2}{\mu - \frac{n}{m}} \right)'}{(\phi')^2} \right\} \quad (14)$$

با توجه به رابطه‌های (7) و (8) می‌توان نوشت

$$\begin{aligned}\delta W_{\min}(\tilde{\lambda}) &= \frac{\partial}{\partial \zeta} \left[ 2a \left( \frac{\partial \tilde{\lambda}}{\partial \zeta} - \frac{\partial \psi}{\partial a} \right) + 2R \xi \Im'(a) \right] + \\ \frac{\partial}{\partial \theta} \left[ \frac{2R^2}{a} \left( \frac{\partial \tilde{\lambda}}{\partial \theta} \right) - 2F'(a) \xi \right] &= 0\end{aligned}\quad (9)$$

با توجه به تقریب ممکن نسبت منظر  $\alpha/R$ ، جملات رابطه‌ی بالا را مرتبه‌بندی می‌کنیم. این روش در توکامک‌های با بتای پایین مانند توکامک دماوند صادق است، زیرا در آن داریم  $\beta \propto \alpha/R$ . لذا، می‌توان نوشت

$$\frac{\partial}{\partial \zeta} \left[ \frac{2}{R} \xi \Im'(a) \right] = - \frac{\partial}{\partial \theta} \left[ \frac{2}{a} \left( \frac{\partial \tilde{\lambda}}{\partial \theta} \right) \right]$$

در نتیجه، مرتبه‌ی  $\tilde{\lambda}$  عبارت خواهد بود از  $\tilde{\lambda} \propto \frac{a}{R} \xi \Im'(a)$ . پس در تقریب نسبت منظر بزرگ، پریشیدگی میدان طولی  $\tilde{\lambda}$  نسبت به بزرگی میدان طولی بسیار کوچک است و می‌توان از آن در عبارت پتانسیل صرف نظر کرد. در این صورت انرژی پتانسیل (رابطه‌ی 9)، به شکل ساده‌ی زیر تنها تابع شار  $\psi$  است

$$\delta W = \int \frac{1}{R} \left\{ \frac{1}{a} \left( \frac{\partial \psi}{\partial \theta} \right)^2 + a \left( \frac{\partial \psi}{\partial a} \right)^2 - 2R \xi \Im'(a) \left( \frac{\partial \psi}{\partial a} \right) + R \xi^2 [F'(a) \phi''(a) + \Im'(a) x''(a)] \right\} da d\theta d\zeta$$

جمله‌ی آخر معادله‌ی بالا را می‌توان با توجه به معادله‌ی تعادل در توکامک بر حسب مشتق کمیت انتقال چرخشی  $\mu$  نوشت، یعنی

$$\delta W = \int \frac{1}{R} \left\{ \frac{1}{a} \left( \frac{\partial \psi}{\partial \theta} \right)^2 + a \left( \frac{\partial \psi}{\partial a} \right)^2 - 2R \xi \Im'(a) \left( \frac{\partial \psi}{\partial a} \right) + R \xi^2 \Im'(a) \phi'(a) \mu'(a) \right\} da d\theta d\zeta \quad (10)$$

با توجه به ارتباط موجود میان پارامترهایی چون تابع شار  $\psi$ ، جابه‌جایی پلاسماء  $\zeta$ ، رابطه‌ی (10) ساده‌تر شده و با میانگین‌گیری روی هر سطح شار و روی زوایای قطبی و چنبره‌ای،  $\theta$  و  $\zeta$ ، انتگرال فوق تنها بر حسب  $a$  به دست می‌آید.



## ۳- نتایج

برای حل عددی معادله‌ی (۱۵)، شناخت مقادیر عددی تمامی پارامترها ضروری است. برخی از این پارامترها بر اساس داده‌های طراحی و یا تجربی توکامک دماوند در دسترس هستند. برای توکامک دماوند،  $B_0 = 1.1\text{ T}$ ،  $R = 37\text{ cm}$ ،  $\alpha = 7\text{ cm}$ . اگر ضریب اینمی روی مرز پلاسما را  $q(\alpha) = q_{\max} = 4$  فرض کنیم آن‌گاه با حل توان معادله‌ی (ب-۹) پیوست ب روی مرز پلاسما ( $\rho = 0$ ) و معادله‌ی (ب-۱۱) پیوست ب روی محور پلاسما ( $\rho = \infty$ ) پارامترهای باقی‌مانده را می‌توان محاسبه کرد

$$\Psi_c = 5.72 \times 10^{-3} \text{ Wb} \quad (1-17)$$

$$k = 49.1 \text{ m}^{-1} \quad (2-17)$$

برای اطمینان از صحت نتایج، می‌توان جریان پلاسما را نیز محاسبه کرد. با انتگرال گیری مستقیم از رابطه‌ی (۳-۱۶) خواهیم داشت

$$I_p \approx \int^a J(\rho) 2\pi \rho d\rho = \frac{2\pi k \psi_c a}{\mu R} J_1(ka) \quad (18)$$

با جای‌گذاری مقادیر عددی چنین به دست می‌آید

$$I_p = 43.1 \times 10^3 \text{ A} \quad (19)$$

مقدار حقیقی به دست آمده از اندازه‌گیری تجربی برای توکامک دماوند حدود  $I_p = 40 \times 10^3 \text{ A}$  می‌باشد که صحت نتایج و مدل را با خطای در حدود ۷/۵٪ تأیید می‌نماید.

در شکل ۱ تغییرات شار قطبی بر حسب شعاع فرعی نمایش داده شده است. همان‌گونه که انتظار می‌رود مقدار شار قطبی در مرکز پلاسما برابر صفر بوده و در مرز به حداقل می‌رسد. از این نظر شار قطبی با شعاع فرعی دارای روند نزولی است. شکل ۲ نشان‌دهنده‌ی تغییرات ضریب اینمی بر روی محور پلاسمای چنبره است. همان‌طور که مشاهده می‌شود مقدار ضریب اینمی روی محور پلاسما با شروع از واحد، روندی مطلقاً صعودی دارد. در شکل ۳ تغییرات چگالی جریان چنبره‌ای بر حسب شعاع فرعی ترسیم شده است. همان‌طور که انتظار می‌رود شدت جریان

به کمک روابط  $\zeta' = 2\pi a B_t \phi'$  و  $\zeta' = 2\pi a j_t$  رابطه‌ی (۱۴) برای انرژی پتانسیل مدهای آرمانی چنین خواهد بود

$$\delta W_{m,n} = \frac{1}{4\pi R_0} \int \rho \left[ (\psi')^2 + \frac{m^2 \psi^2}{\rho^2} - \frac{RJ}{\rho B_0} \left( \frac{\psi^2}{\mu - \frac{n}{m}} \right)' \right] d\rho \quad (15)$$

که در آن به جای  $\zeta$  از  $J$ ، به جای  $B$  از  $B_0$ ، و به جای  $\alpha$  از  $\rho$  استفاده شده است. در اینجا، علامت پریم نشانه‌ی مشتق نسبت به  $\rho$  است. اکنون با ارزیابی عددی رابطه‌ی (۱۵) و با در نظر گرفتن نوع پروفیل جریان می‌توان به بررسی پایداری پرداخت.

با توجه به نتایج پیوستهای الف و ب داریم

$$\psi(\rho) = \psi_c [J_0(k\rho) - 1] \quad (1-16)$$

$$\mu(\rho) = \frac{k \psi_c J_1(k\rho)}{2\sqrt{\pi} B_{t_0}} \left[ \sum_{n=0}^{\infty} \frac{\Gamma(n + \frac{1}{2})}{n!} \frac{\rho^{2n+1}}{R_0^{2n}} \right]^{-1} \quad (2-16)$$

هم‌چنین بر اساس معادله‌ی گراد-شفرانف و رابطه‌ی

(الف-۹) پیوست الف می‌توان نوشت

$$-\mu_0 R J \approx \frac{1}{\rho} \frac{\partial}{\partial \rho} \left( \rho \frac{\partial}{\partial \rho} \right) \psi$$

و از آنجا با استفاده از رابطه‌ی (۱-۱۶) داریم

$$J(\rho) \approx \frac{k \Psi_c}{2\mu_0 R_0 \rho} \{k\rho [J_0(k\rho) - J_2(k\rho)] + 2J_1(k\rho)\} \quad (3-16)$$

از رابطه‌ی فوق به سادگی می‌توان دید که (بیشینه) چگالی جریان چنبره‌ای روی محور پلاسما عبارت است از

$$J(0) = \lim_{\rho \rightarrow 0} J(\rho) = \frac{k^2 \psi_c}{\mu_0 R_0} \quad (4-16)$$

در بخش بعد به تشریح نتایج عددی مدل می‌پردازیم.

با در اختیار داشتن مقادیر عددی تمامی پارامترها و توابع مورد نیاز، به کمک رابطه‌ی (۱۵) می‌توان تغییرات انرژی،  $\delta W_{m,n}$  را برای  $m$  و  $n$  داده شده به دست آورد. در انتگرال رابطه‌ی (۱۵)

$$\text{می‌توان نوشت} \\ \delta W_{m,n} = \delta W_1 + \delta W_2 + \delta W_3 \quad (۲۰)$$

که در آن

$$\delta W_1 = \frac{I}{4\pi R_0} \int_0^a \psi'^2 \rho d\rho = \\ \frac{a^3}{12\pi R_0} \psi_c \left[ {}_1F_2 \left( \left\{ \frac{3}{2} \right\}, \left\{ 1, \frac{5}{2} \right\}; -\frac{I}{4} k^2 a^2 \right) - I \right] \quad (۱-۲۱)$$

$$\delta W_2 = \frac{1}{4\pi R_0} \int_0^a \frac{m'}{\rho} \psi' d\rho = \\ -\frac{ak'\psi_c}{8\pi R_0} F_r \left( \left\{ \frac{1}{r} \right\}, \left\{ \frac{r}{r}, 2 \right\}; -\frac{1}{r} k^2 a^2 \right) \quad (۲-۲۱)$$

$$\delta W_3 = -\frac{1}{4\pi B_0} \int_0^a J \left( \frac{\psi^2}{\mu - n/m} \right)' d\rho \quad (۳-۲۱)$$

در اینجا،  $F_r(a, b; z)$  توابع فوق هندسی گاووسی هستند [۱۶]. حل عددی معادله‌ی (۳-۲۱) با توجه به شکل تابع  $(\rho)$  دشوار است، ولی با انتگرال‌گیری جزء به جزء خواهیم داشت

$$\delta W_3 = -\frac{1}{4\pi B_0} \int_0^a J \left( \frac{\psi^2}{\mu - \frac{n}{m}} \right)' d\rho = \\ -\frac{I}{4\pi B_0} \left[ \frac{J\psi^2}{\mu - \frac{n}{m}} \right]_{\rho=0}^{\rho=a} + \frac{I}{4\pi B_0} \int_0^a \frac{\psi^2}{\mu - \frac{n}{m}} J d\rho$$

اما با توجه به این که،  $J(\alpha) = \psi(\alpha)$  داریم

$$\delta W_3 = \frac{1}{4\pi B_0} \int_0^a \frac{\psi^2}{\mu - n/m} J' d\rho \quad (۲۲)$$

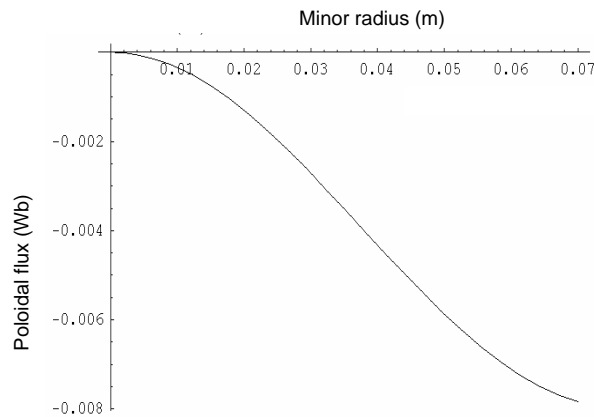
از نظر عددی حل معادله‌ی (۲۲) ساده‌تر از معادله‌ی (۳-۲۱) می‌باشد.

شرایط پایداری و ناپایداری به قرار زیر هستند

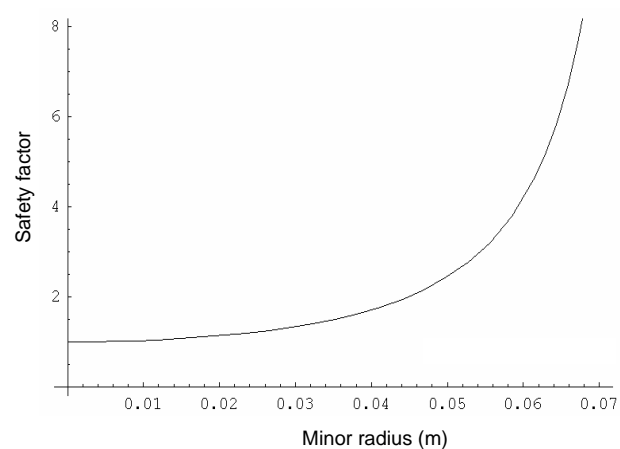
$$\delta W_{m,n} > 0 \quad \text{تعادل پایدار} \quad (۱-۲۳)$$

$$\delta W_{m,n} < 0 \quad \text{تعادل ناپایدار} \quad (۲-۲۳)$$

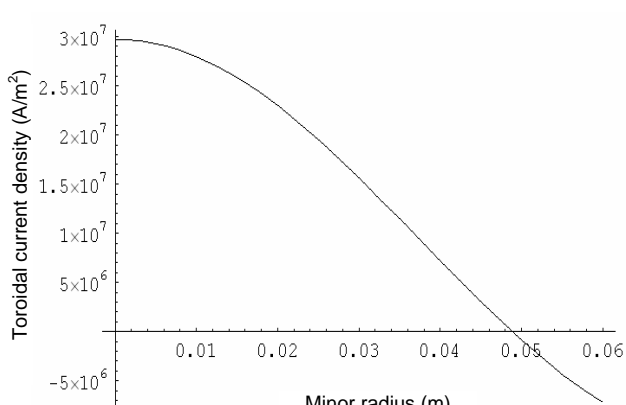
چنبره‌ای در مرکز پلاسما به بیشینه مقدار خود رسیده و طبق رابطه‌ی (۴-۱۶)،  $J(\circ) = 2.97 \times 10^7 \text{ Am}^{-1}$



شکل ۱- تغییرات شار قطبی بر حسب شعاع فرعی در توکامک دماوند.



شکل ۲- تغییرات ضریب ایمنی بر حسب شعاع فرعی در توکامک دماوند.



شکل ۳- تغییرات چگالی جریان چنبره‌ای بر حسب شعاع فرعی در توکامک دماوند.



جدول ۱- نمایش پایداری آرایش تعادل چنبره‌ای دماوند نسبت به مدهای مختلف؛ U برای نمایش مد ناپایدار و S برای مد پایدار به کار رفته است. خانه‌هایی که دارای پس زمینه‌ی سیاه هستند متعلق به مدهایی هستند که خارج از پلاسما قرار دارند.

$m \backslash n$	1	2	3	4	5	6	7	8	9	10
1	S	U	U	U	U	U	U	U	U	U
2	S	S	S	U	U	U	U	U	U	U
3	S	S	S	S	U	U	U	U	U	U
4	S	S	S	S	S	S	S	U	S	S
5	S	S	S	S	S	S	S	S	U	U
6	S	S	S	S	S	S	S	S	S	S
7	S	S	S	S	S	S	S	S	S	S
8	S	S	S	S	S	S	S	S	S	S
9	S	S	S	S	S	S	S	S	S	S
10	S	S	S	S	S	S	S	S	S	S

مطابق جدول ۱، توکامک دماوند نسبت به غالب مدها پایدار است. می‌توان مشاهده کرد که تمامی مدهای (m,n) با  $n \geq m$  پایدار هستند. دلیل آن این است که در رابطه‌ی (۲۰) جمله‌ی غالب همان  $\delta W_3 = 0$  است که علامت آن را به سادگی می‌توان با کمی دقت تعیین نمود. در تعیین علامت  $\delta W_3 = 0$  باید دقت کرد که در داخل انتگرال  $\int_{\mu-n/m}^{\mu} q dq$  مثبت بوده و  $z'$  به دلیل روند مطلقاً نزولی‌اش (مطابق شکل ۳) دارای علامت منفی است. اما چون برای آرایش دماوند مطابق شکل ۲،  $1 \leq q \leq m/n$  است می‌توان دید که همواره  $1 \leq q \leq \mu$ . بنابراین وقتی  $1 \leq q \leq m/n$  باشد خواهیم داشت  $0 < \mu - n/m < 0$ . اصولاً این دسته از مدها در داخل یا در خارج پلاسما دچار تشدید نمی‌شوند، زیرا با توجه به  $1 \leq q \leq m/n$  هیچ سطح مغناطیسی،  $q(r) = m/n$  را برآورد نمی‌کند و امکان تشدید وجود ندارد. این بدان معنی است که برای مدهای عبارت داخل انتگرال در رابطه‌ی (۲۲) همواره مثبت،  $0 < \mu - n/m < 0$  و مثبت خواهد بود که به پایداری مد اشاره می‌کند. این‌ها شامل مدهای  $1 = m/n$  نیز هستند که با کارکرد در زیر حد مارتین-کروسکال [۱۲، ۱۳] پایدار می‌شوند. اما در دماوند این شرط به دلیل  $1 > q(a)$  به خودی خود برقرار است و در نتیجه این مدها نیز مطابق جدول ۱ پایدارند.

مدهای ناپایدار در آرایش توکامک دماوند همگی دارای  $m > n$  و  $z'$  کوچک هستند و در نامساوی  $m > n$  صدق می‌کنند. نکته‌ی جالب توجه دیگر آن است که آرایش تعادلی دماوند نسبت به پریشیدگی مد آرمانی ( $m, n = 1, 2$ )، که عموماً عامل

ضمن محاسبات عددی مشاهده شد که تقریب  $\delta W_{m,n} = \delta W_3$  معمولاً با دقت خوبی برای پلاسمای دماوند با نسبت منظر بزرگ برقرار است. این بدان معنی است که وضعیت پایداری پلاسما به شدت به تابع  $z'$  یا گرادیان شعاعی چگالی جریان چنبره‌ای وابسته است. این نتیجه با این موضوع که در تقریب توکامک مستقیم تنها مدهای راهاندازی شده با جریان ایفای نقش می‌کنند [۱۲ و ۱۳]، هم خوانی دارد. در نتیجه، اگر در یک آرایش مغناطیسی جریان فاقد گرادیان باشد، تعادل درست در مرز ناپایداری و پایداری قرار می‌گیرد. خروج از این بنبست در آرایش توکامک، با القای جریان چنبره‌ای صورت می‌گیرد که ضمن القای میدان مغناطیسی قطبی، موجب می‌شود ضربی اینی شعاع فرعی چنبره روند افزایشی داشته، و  $z'$  نیز غیر صفر باشد. خواهیم دید که این تکنیک در توکامک برای مصون‌سازی پلاسما نسبت به بسیاری از مدهای آرمانی کافی است.

نکته‌ی دیگر امکان حضور صفر در مخرج کسر در انتگرال رابطه‌ی (۲۲) است. اگر پلاسمای توکامک برای (m,n) داده شده و در شعاع فرعی خاصی دارای شرط  $\mu - n/m = 0$  باشد، مدد پریشیدگی روی سطح مربوطه دچار تشدید می‌شود. تحت این شرایط، امکان ناپایداری وجود دارد. ولی همان‌طور که خواهیم دید در عمل بسیاری از مدهایی که دارای تشدید در درون پلاسما هستند موجب گسترش ناپایداری در پلاسما نمی‌شوند، زیرا غالباً تغییرات انرژی پتانسیل مربوطه به شکلی است که مصونیت پلاسما را تضمین می‌نماید؛ این دسته از مدها تحت عنوان مدهای کینک داخلی شناخته می‌شوند. هم‌چنین پاره‌ای از مدهای پریشیدگی (m,n) به گونه‌ای هستند که تشدید آن‌ها در خارج از پلاسما رخ می‌دهد و تحت عنوان مدهای کینک خارجی شناخته می‌شوند، و عموماً ناپایدار هستند.

نتایج محاسبه‌ی عددی پایداری مدها برای  $n,m = 1..10$  بر اساس تعیین علامت  $\delta W_3$  در جدول ۱ آورده شده است. در اینجا U برای نمایش مد ناپایدار و S برای مد پایدار به کار رفته است. خانه‌هایی که دارای پس زمینه‌ی سیاه هستند متعلق به مدهایی هستند که خارج از پلاسما قرار دارند و بنابراین طبق بحث فوق غیرفیزیکی هستند.

آمده، پریشیدگی را به شکل سری در نظر گرفته و با وارد کردن کمیت انتقال چرخشی و اعداد مدلی  $m$  و  $n$  پس از میانگین گیری روی زوایای قطبی و چنبره‌ای به رابطه‌ای رسیدیم که شامل فقط پروفیلهای شار مغناطیسی قطبی، ضربی اینمی و چگالی جریان چنبره‌ای است. برای محاسبه‌ی پروفیلهای مورد نظر از روش جدیدی برای محاسبه‌ی تعادل استفاده کردیده‌ایم که منجر به روابطی ساده و صریح برای پروفیلهای گوناگون شعاعی پلاسمای گردید. هم‌چنین جریان کل چنبره‌ای پلاسما به دست آورده شد. از طریق برآذش با داده‌های موجود برای دماوند توانستیم پروفیلهای حقیقی را محاسبه و ترسیم نماییم و در نهایت شرایط پایداری را نسبت به مدهای گوناگون آرمانی به دست آوریم. نشان دادیم که پلاسمای دماوند نسبت به مدهایی که یکی از شرایط  $1 \leq m/n \leq 4$  یا  $4 < m/n < 1$  را برآورد می‌کنند به ترتیب اصولاً پایدار و یا فاقد سطح تشیدید در درون خود است. در ارتباط با سایر مدهایی که با  $4 < m/n < 1$  مشخص می‌شوند، تنها تعداد محدودی امکان ایجاد ناپایداری و گسترش آن را دارند.

### پیوست الف - شار قطبی

در این جا به بررسی تعادل پلاسمای توکامک با استفاده از معادله‌ی گراد-شفرانف می‌پردازیم و از مدل تعادلی و دستگاه مختصات مناسب استفاده می‌کنیم. برای اولین بار نشان می‌دهیم که حل تحلیلی معادله‌ی گراد-شفرانف در تقریب خطی از طریق ادغام روش‌های پریشیدگی و توابع گرین به صورت صریح قابل انجام است. در تقریب توکامک با سطح مقطع دایره‌ای و نسبت منظر بزرگ به رفتار مورد انتظار دست می‌یابیم. در هندسه‌ی چنبره‌ای متقارن محوری شکل تعمیم یافته، معادله‌ی گراد-شفرانف در دستگاه مختصات استوانه‌ای

(R,Z, $\varphi$ ) چنین است [۳]

$$\Delta^* \psi = R \frac{\partial}{\partial R} \left( \frac{1}{R} \frac{\partial \psi}{\partial R} \right) + \frac{\partial^2 \psi}{\partial Z^2} = -\mu \cdot R J_t = -\mu \cdot R \frac{\partial F(\psi)}{\partial \psi} - \mu \cdot I(\psi) \frac{\partial I(\psi)}{\partial \psi} \quad (\text{الف-1})$$

که در آن،  $F(\psi)$  فشار پلاسما است. هم‌چنین داریم

$$I(\Psi) = R B_t / \mu_0 \quad (\text{الف-2})$$

گسیختگی در توکامک‌ها است، ناپایدار بوده و بایستی توسط مدار پس خور کنترل و پایدار گردد. ضمناً اگر  $q_{max} \leq m/n$  باشد، آن‌گاه سطح تشیدید در خارج از مرز فیزیکی پلاسما قرار می‌گیرد. تحت این شرایط برای مدهای کینک خارجی  $0 < n/m < 1$  است و بنابراین با توجه به بحث‌های فوق  $\delta W_{m,n} \propto \delta W_\varphi$  و منفی خواهد بود که به ناپایداری مد اشاره می‌کند. این دسته از مدها در جدول ۱ با پس‌زمینه‌ی سیاه نمایش داده شده‌اند و همگی ناپایدارند.

در نهایت بر اساس اطلاعات جدول ۱ می‌توان دریافت که برای مدهای  $n,m=1..10$  در توکامک دماوند و خیم‌ترین ناپایداری‌ها که دارای سطح تشیدید در درون پلاسما هستند عبارت‌اند از  $(m=4..7, n=2)$ ،  $(m=2..3, n=1)$ ،  $(m=4..7, n=3)$ ،  $(m=4..10, n=4)$  و  $(m=5..10, n=5)$ . از بین مدهای ناپایدار آن‌هایی که دارای نسبت  $m/n$  کوچک‌تر هستند در سطوح درونی تر پلاسما چار تشیدید شده و و خیم‌تراند. بنابراین از میان مدهای نام برد شده، مد  $(5,3)$  با نسبت  $n/m \approx 1/7$  دچار شدیدترین ناپایداری خواهد شد.

همان‌طور که در مقدمه نیز اشاره شد در تقریب مگنتو هیدرودینامیک غیرآرمانی، رسانایی الکترویکی محدود پلاسما موجب پارگی و به هم پیوستن خطوط مغناطیسی و در نتیجه تشکیل جزایر مغناطیسی می‌گردد. تحت این شرایط هنوز امکان گسترش مدهای مگنتو هیدرودینامیک غیرآرمانی یا مقاومتی وجود خواهد داشت، ولی چون آهنگ رشد مدهای مقاومتی بسیار کنترل از مدهای آرمانی و در حد چند ده تا چند صد میکروثانیه است، معمولاً به کمک مدارهای پس خور کنترل فعال می‌توان آن‌ها را پایدار نمود. در هر صورت امکان رشد یک مد غیرآرمانی  $(m,n)$  حتی وقتی که مد آرمانی  $(m,n)$  مربوطه پایدار شده است وجود دارد.

### ۴- نتیجه‌گیری

در این پژوهش بر اساس روش اصل انرژی،تابع انرژی پتانسیل پلاسما را به دست آورديم. در اين جا از دستگاه مختصات شار در توکامک‌هایی با نسبت منظر بزرگ، یا توکامک مستقیم استفاده کرده‌ایم. برای دست‌یابی به شرط پایداری از عبارت به دست آمده، لازم است با توجه به اصل وردشی،تابع زیر انتگرال را نسبت به پریشیدگی کمینه کرد و علامت عبارت حاصل را به دست آورد. برای اين منظور پس از ساده‌سازی عبارت به دست



$$\begin{aligned} I(\psi) \frac{\partial}{\partial \psi} I(\psi) &= \sum_{n=0}^{\infty} I_n \psi^n \approx I_0 + I_1 \psi + I_2 \psi^2 \frac{\partial}{\partial \psi} F(\psi) \\ &= \sum_{n=0}^{\infty} F_n \psi^n \approx F_0 + F_1 \psi + F_2 \psi^2 \end{aligned} \quad (\text{الف}-۸)$$

در اینجا،  $B_z$  میدان مغناطیسی چنبره‌ای است. از مدل تعادلی سولوویو<sup>(۱)</sup> [۱۴ و ۱۵] برای نسبت منظر بزرگ استفاده می‌کنیم. با توجه به شکل پارامتری مختصات شبه چنبره‌ای  $(r, \theta, \phi)$  و دستگاه مختصات استوانه‌ای  $(R, \varphi, z)$  داریم

به گونه‌ای که

$$(R, \varphi, z) = (R_0 + r \cos \theta, \phi, r \sin \theta) \quad (\text{الف}-۳)$$

$$\frac{1}{r} \frac{\partial}{\partial r} \left( r \frac{\partial}{\partial r} \right) \psi_0 \approx -A_0 - A_1 \psi_0 - A_2 \psi_0^2 \quad (\text{الف}-۹)$$

$$\begin{aligned} \left[ \frac{1}{r} \frac{\partial}{\partial r} \left( r \frac{\partial}{\partial r} \right) + \frac{1}{r^2} \frac{\partial^2}{\partial \theta^2} \right] \psi_1 &\approx \frac{\cos \theta}{R_0} \frac{\partial}{\partial r} \psi_0 - \\ r \cos \theta (B_0 + B_1 \psi_0 + B_2 \psi_0^2) - (A_1 + 2A_2 \psi_0) \psi_1 & \end{aligned} \quad (\text{الف}-۹)$$

$$. B_n = \mu_0 R_0 F_n \text{ و } A_n = \mu_0 (R_0' F_n + \mu_0 I_n) \quad \text{که در آن،}$$

شرایط اولیه برای معادله‌های (الف-۹) عبارت‌اند

$$\psi_0|_{r=0} = \frac{\partial \psi_0}{\partial r}|_{r=0} = 0 \quad (\text{الف}-۱۰)$$

$$\psi_1|_{r=0} = \frac{\partial \psi_1}{\partial r}|_{r=0} = 0 \quad (\text{الف}-۱۰)$$

در نتیجه در تقریب خطی برای شار مغناطیسی در درون

پلاسمای داریم

$$\left[ \frac{1}{r} \frac{\partial}{\partial r} \left( r \frac{\partial}{\partial r} \right) + A_1 \right] \psi_0 = -A_0 \quad (\text{الف}-۱۱)$$

$$\begin{aligned} \left[ \frac{1}{r} \frac{\partial}{\partial r} \left( r \frac{\partial}{\partial r} \right) + \frac{1}{r^2} \frac{\partial^2}{\partial \theta^2} + A_1 \right] \psi_1 &\approx \frac{\cos \theta}{R_0} \frac{\partial}{\partial r} \psi_0 - \\ r \cos \theta (B_0 + B_1 \psi_0) & \end{aligned} \quad (\text{الف}-۱۱)$$

لذا، حل تحلیلی معادله (۱-۱۱) به کمک توابع بسل امکان‌پذیر خواهد بود

$$\psi_0(r) = \psi_c [J_0(kr) - 1] \quad (\text{الف}-۱۲)$$

در اینجا،  $k = \sqrt{A_1/A_0}$ . در شکل ۱ نتایج حاصل از حل معادله (الف-۱۲) دیده می‌شود که با رفتار واقعی شار مغناطیسی قطبی کاملاً مطابقت می‌کند. رابطه‌ی (الف-۱۲) برای

$$\begin{aligned} \left[ \frac{1}{r} \frac{\partial}{\partial r} \left( r \frac{\partial}{\partial r} \right) + \frac{1}{r^2} \frac{\partial^2}{\partial \theta^2} \right] \psi - \frac{1}{R_0 + r \cos \theta} \left( \cos \theta \frac{\partial}{\partial r} - \frac{\sin \theta}{r} \frac{\partial}{\partial \theta} \right) \psi = \\ - \mu_0 (R_0 + r \cos \theta)^2 \frac{\partial F(\psi)}{\partial \psi} - \mu_0^2 I(\psi) \frac{\partial I(\psi)}{\partial \psi} \end{aligned} \quad (\text{الف}-۴)$$

در آرایش تعادلی سولوویو و در دستگاه مختصات شبه چنبره‌ای  $(r, \theta, \phi)$ ، سطوح شار مغناطیسی تقریباً به صورت دایره‌های هم مرکز دیده می‌شوند. به عنوان یک تقریب مناسب در این دستگاه می‌توان نوشت

$$\psi(r, \theta) = \psi_0(r) + \psi_1(r, \theta) \quad (\text{الف}-۵)$$

که در آن

$$\left[ \frac{1}{r} \frac{\partial}{\partial r} \left( r \frac{\partial}{\partial r} \right) \right] \psi_0(r) = -\mu_0 R_0^2 \frac{\partial F(\psi_0)}{\partial \psi_0} - \mu_0^2 I(\psi_0) \frac{\partial I(\psi_0)}{\partial \psi_0} \quad (\text{الف}-۶)$$

پس برای تابع پریشیدگی  $\psi_1(r, \theta)$  با فرض  $|\psi_1(r, \theta)| \ll |\psi_0(r)|$  می‌توان نوشت

$$\begin{aligned} \left[ \frac{1}{r} \frac{\partial}{\partial r} \left( r \frac{\partial}{\partial r} \right) + \frac{1}{r^2} \frac{\partial^2}{\partial \theta^2} \right] \psi_1(r, \theta) &\approx \frac{\cos \theta}{R_0} \frac{\partial}{\partial r} \psi_0 - 2\mu_0 R_0 r \cos \theta \frac{\partial F(\psi_0)}{\partial \psi_0} \\ - \frac{1}{\partial \psi_0 / \partial r} \frac{\partial}{\partial r} \left[ \mu_0 R_0^2 \frac{\partial F(\psi_0)}{\partial \psi_0} - \mu_0^2 I(\psi_0) \frac{\partial I(\psi_0)}{\partial \psi_0} \right] \psi_1 & \end{aligned} \quad (\text{الف}-۷)$$

توابع توزیع  $F(\psi)$  و  $I(\psi)$  از بسط چند جمله‌ای آنها به دست می‌آید. از آن‌جا که  $F(\psi)$  و  $I(\psi)$  توابع نامعین هستند، داریم

که در آن،  $r=r(\rho, \theta)$  بردار مکان است که نسبت به محور پلاسما سنجیده می‌شود. طبق شکل رایج برای تعادل سولوویو داریم

$$[14, 18, 19]$$

$$B_t(r) = \frac{B_{t_0}}{1 + \frac{\rho}{R_0} \cos \theta} \quad (b-2)$$

که در آن،  $B_{t_0}$  میدان مغناطیسی چنبره‌ای بر روی محور پلاسما و  $R_0$  شعاع اصلی چنبره است. در تقریب نسبت منظر بزرگ داریم  $\rho < R_0$ . بنابراین، رابطه‌ی (ب-۲) را می‌توان به صورت زیر نوشت

$$B_t(r) = B_{t_0} \sum_{n=0}^{\infty} \left( -\frac{\rho}{R_0} \cos \theta \right)^n \quad (b-3)$$

از جانشانی رابطه‌ی (ب-۳) در رابطه‌ی (ب-۱) و استفاده از اتحادهای

$$\int_0^{2\pi} (\cos \theta)^{2n+1} d\theta = 0 \quad (b-4)$$

$$\int_0^{2\pi} (\cos \theta)^{2n} d\theta = \frac{2\sqrt{\pi}}{n!} \Gamma(n+1/2) \quad (b-4)$$

که در آن  $(*)$  تابع گامای اویلر است، داریم

$$\phi(r) = 2\sqrt{\pi} B_{t_0} \sum_{n=0}^{\infty} \frac{\Gamma(n+1/2)}{n!} \int_0^r \left( \frac{\rho}{R_0} \right)^{2n} \rho d\rho \quad (b-5)$$

پس از ساده‌سازی خواهیم داشت

$$\phi(r) = \sqrt{\pi} B_{t_0} r^2 \sum_{n=0}^{\infty} \frac{\Gamma(n+1/2)}{(n+1)!} \left( \frac{r}{R_0} \right)^{2n} \quad (b-6)$$

رابطه‌ی (ب-۶) را می‌توان به صورت هم‌ارز زیر نوشت

$$\phi(r) = \pi r^2 B_{t_0} \left[ 1 + \frac{1}{4} \left( \frac{r}{R_0} \right)^2 + \frac{3}{24} \left( \frac{r}{R_0} \right)^4 + \dots \right] \quad (b-7)$$

همان طور که دیده می‌شود به عنوان تقریب مرتبه‌ی صفر داریم  $\phi(r) \approx \pi r^2 B_{t_0}$  که نشان می‌دهد شار مغناطیسی چنبره‌ای تقریباً برابر با حاصل ضرب مساحت سطح مغناطیسی در میدان مغناطیسی چنبره‌ای روی محور اصلی پلاسما است.

توکامک‌هایی که دارای سطوح مغناطیسی دایره‌ای و نسبت منظر بزرگ هستند دقیق است [۱۱].

جالب توجه است که معادله‌ی (الف-۱۱-۲) را نیز می‌توان به کمک حل (الف-۱۲) و روش توابع گرین [۱۵ و ۱۶] حل نمود. بدین منظور تابع گرین را مطابق رابطه‌ی زیر تعریف می‌کنیم

$$\begin{aligned} \left[ \frac{1}{r} \frac{\partial}{\partial r} \left( r \frac{\partial}{\partial r} \right) + \frac{1}{r^2} \frac{\partial^2}{\partial \theta^2} + k^2 \right] G(r, r') = \\ -\delta(r - r') = -\frac{1}{r} \delta(r - r') \delta(\theta - \theta') \end{aligned} \quad (الف-۱۳)$$

که در آن  $r = r(\cos \theta \hat{r} + \sin \theta \hat{\theta})$  بردار مکان است که نسبت به محور پلاسما در صفحه‌ی با  $\Phi$  ثابت سنجیده می‌شود. با توجه به شباهت (الف-۱۳) به انتشار موج در فضای دو بعدی تابع گرین به دست می‌آید [۱۶]

$$G(r, r') = \operatorname{Re} \left[ \frac{i}{4} H_0^{(1)}(k|r - r'|) \right] \quad (الف-۱۴)$$

در (الف-۱۴)،  $(*)$  تابع هنکل نوع اول مرتبه‌ی صفر است. بنابراین خواهیم داشت

$$\psi(r, \theta) = \int_0^\infty \int_0^{2\pi} G(r, r') f(r') r' d\theta' dr' \quad (الف-۱۵)$$

$$f(r) = \cos \theta \left\{ R_0^{-1} k \psi_c J_1(kr) + r \left[ (B_0 - B_1 \psi_c) + B_1 \psi_c J_0(kr) \right] \right\} \quad (الف-۱۵)$$

بنابراین می‌توان دید که حل صریح معادله‌ی گراد-شفرانف در ناحیه‌ی خطی از طریق ادغام روش‌های پریشیدگی و توابع گرین انجام شدنی است. جالب توجه است که اخیراً از ادغام این دو روش برای مطالعه‌ی سولیتون‌های <sup>(۲)</sup> اتلافی در امواج غیرخطی پلاسما نیز استفاده شده است [۱۷]

**پیوست ب- ضریب ایمنی**  
در این قسمت به محاسبه‌ی تابع ضریب ایمنی بر حسب شعاع فرعی می‌پردازیم. برای این منظور کافی است ابتدا تابع شار مغناطیسی چنبره‌ای برای توکامک با سطح مقطع دایره‌ای را مطابق تعریف زیر بیاییم

$$\phi(r) = \int_0^r \int_0^{2\pi} B_t(r) \rho d\theta d\rho \quad (ب-1)$$



با استفاده از رابطه‌های، (الف-۱۲) و (ب-۷) و بر مبنای

تعريف ضریب اینمنی

۱- Solov'ev

۲- Solitons

## پی‌نوشت‌ها:

$$q(r) = \frac{1}{\mu(r)} = -\frac{\phi'(r)}{\psi'(r)} \quad (\text{ب-}8)$$

## References:

1. <http://www.iter.org/>
2. <http://www.jet.efda.org/>
3. J. Wesson, "Tokamaks," Clarendon Press, Oxford (2004).
4. T.J. Dolan, "Fusion Research," rev. ed, Pergamon Press (2001).
5. W.M. Stacey, "Fusion Plasma Physics," Wiley-VCH Press (2005).
6. G. Bateman, "MHD Instabilities," MIT Press, Cambridge (1978).
7. R.O. Dendy, "Plasma Physics: An Introductory Course," Cambridge University Press (1993).
8. K. Miyamoto, "Plasma Physics for Nuclear Fusion," MIT, Cambridge (1980).
9. K. Miyamoto, "Controlled Fusion and Plasma Physics," Taylor & Francis, New York (2007).
10. W.D. D'haezeleer, W.N.G. Hitchon, J.D. Callen, J.L. Shohet, "Flux coordinates and magnetic field structure-A guide to a fundamental tool of the plasma theory," Edited by R. Glowinski, M. Holt, P. Hut, H.B. Keller, J. Killeen, S.A. Orszag and V.V. Rusanov, Springer-Verlag, Berlin (1991).
11. ف. دینی، "پایان‌نامه کارشناسی ارشد، دانشکده فیزیک، دانشگاه صنعتی امیرکبیر،" تهران، (بهمن ۱۳۷۵).
12. J.P. Freidberg, "Ideal magnetohydrodynamics," Plenum Press, New York (1987).
13. J.P. Freidberg, "Plasma physics and fusion energy," Cambridge University Press, Cambridge (2007).
14. L.S. Solov'ev, "The theory of hydromagnetic stability of toroidal plasma configurations," Sov. Phys. JETP 26, 400-407 (1968).

$$q(r) = \frac{2\sqrt{\pi}B_{t_0}}{k\psi_c J_1(kr)} \sum_{n=0}^{\infty} \frac{\Gamma(n + \frac{1}{2})}{n!} \frac{r^{2n+1}}{R_0^{2n}} \quad (\text{ب-}9)$$

جالب توجه خواهد بود اگر به ضریب اینمنی بر روی محور پلاسما ( $r \sim 0$ ) نگاهی بیاندازیم. تحت این شرایط داریم  $J_1(kr) \sim \frac{1}{r} kr$  و نیز می‌توان از جملات مرتبه‌ی بالا در رابطه‌ی (ب-۷) صرف نظر کرد. آن‌گاه خواهیم داشت

$$q(r \rightarrow 0) = \frac{4\pi B_{t_0}}{k^2 \psi_c} \quad (\text{ب-}10)$$

به دلیل حضور ناپایداری دندانه اره‌ای در توکامک‌ها [۳] معمولاً ضریب اینمنی بر روی محور پلاسما برابر واحد است و در نهایت رابطه‌ی زیر به دست می‌آید

$$\frac{4\pi B_{t_0}}{k^2 \psi_c} = 1 \quad (\text{ب-}11)$$

اما طبق تعريف  $k$  در پیوست الف داریم  $k = \sqrt{A_1}$  و بنابراین می‌توان معادله‌ای برای محاسبه‌ی ثابت  $A_1$  به دست آورد

$$A_1 = \frac{4\pi B_{t_0}}{\psi_c} \quad (\text{ب-}12)$$

مطالعه‌ی تحلیلی کاملی از تعادل توکامک در منابع [۲۰، ۲۱] و [۲۲] آمده است.

## تشکر و قدردانی

بدین‌وسیله، مؤلفین از داوران محترم مقاله که ضمن مطالعه‌ی دقیق موجبات رفع نواقص، و بهبود قابل توجهی در کیفیت آن را فراهم آورده‌اند تشکر می‌نمایند.

- 15.F. Dini, S. Khorasani, R. Amrollahi, "On the green function of axisymmetric magnetostatics," *Iranian J. Sci. Technol., Transaction A* 28, 197-204 (2004).
- 16.G. Arfken, "Mathematical methods for physicists," Academic Press, 3<sup>rd</sup> ed (1985).
- 17.F. Dini, M. Molaei Emamzadeh, S. Khorasani, J.L. Bobin, R. Amrollahi, M. Sodagar, M. Khoshnegar, "Analytical study of dissipative solitary waves," *Phys. Scr.* 77, 025504 (2008).
- 18.ف. دینی و س. خراسانی، "محاسبه ضریب هدایت نئوکلاسیک با استفاده از کسر ذرات به دام افتاده برای پلاسمای توکامک کشیده دماوند،" *مجله علوم و فنون هسته‌ای* ۴۰، ۲۵-۳۳ (۱۳۸۶).
- 19.ف. دینی و س. خراسانی، "مشاهده آرایش جداساز در شیوه‌سازی تراپرد توکامک کشیده دماوند،" *مجله علوم و فنون هسته‌ای*، پذیرفته شده (۱۳۸۷).
- 20.P.J. Mc Carthy, "Analytical solutions to the Grad-Shafranov equation for tokamak equilibrium with dissimilar source functions," *Phys. Plasmas* 6, 3554-3560 (1999).
- 21.C.V. Atanasiu, S. Gunter, K. Lackner, I.G. Miron, "Analytical solutions to the Grad-Shafranov equation," *Phys. Plasmas* 11, 3510 (2004).
- 22.S. Wang and J. Yu, "An exact solution of the Grad-Shafranov-Helmholtz equation with central current density reversal," *Phys. Plasmas* 12, 062501 (2005).